

岐阜大学大学院 学生員 ○ 松本 寛一

同 上 学生員 金 武文

岐阜大学工業短期大学部 正員 井上 肇

土木構造物にはユニットで作られたものが多いが、ユニットの力学的性質は複雑であり、静的にはCreep、動的には振動の減衰といつた現象を呈し、粘弹性体として取扱った方がよい。しかし粘弹性体として振動問題を解く場合、弾性-粘弹性の対応原理のみで対処することはできず、Boltzmannの記憶則(履歴積分)を考慮せねばならない。粘性減衰をもつ材料からなる構造物の振動については、複素バネの概念を導入してうまく説明できるが、材料の物理にもとづいた形での導入ではなく、もっとMacroなものであって、一応の振動性状を得ることはできる。(しかし、構造物の動的強度に因て検討するとき、材料の非線型の挙動と示す領域に応力(あるいはひずみ)が入るような場合には、十分にはその威力と発揮できない。(たがって、Stress-Strain Curveに対応できようなどと、(かむひずみ速度の影響とも考慮して粘弹性(もろい)非線型)的な性質を導入するためには、粘弹性(線型、非線型)を考慮に入れた有限要素法が、差分法によって解析を進めなければならぬ。

こゝでは、その手始めとして、線型領域内ではあるが、有限要素法による粘弹性体の振動解析法¹⁾によって、Maxwell-Voigt型の4要素モデル(図-1)を、特性とともに材料(ユニットを想定)から構成されていふ円形固定アーチの面内における強制振動(Sine curve載せ動)に対する応答解析を試みた。

円形アーチの有限要素は、U, Vとアーチの半径方向、円周方向の変位として、つきのような基礎関数を用いた(こゝで $b = I/a^2 F$, $f = (1-b)/(1+b)$, a, I, F; アーチの曲率半径、断面2次モーメント、断面積)。

$$U = C_1 + C_2\theta + C_3 \sin\theta + C_4 \cos\theta + C_5 \theta \sin\theta + C_6 \theta \cos\theta$$

$$V = \frac{\partial U}{\partial \theta} - \frac{b}{1+b} \left(\frac{\partial^3 U}{\partial \theta^3} + \frac{\partial^5 U}{\partial \theta^5} \right) = C_2 + C_3 \cos\theta - C_4 \sin\theta + C_5 (\sin\theta + \theta \cos\theta) + C_6 (\cos\theta - \theta \sin\theta)$$

曲げモーメント M, 断面力 N²⁾は

$$M = -\frac{EI}{a^2} \left(\frac{\partial^2 U}{\partial \theta^2} + \frac{\partial^4 U}{\partial \theta^4} \right), \quad N = \frac{EF}{a} \left(\frac{\partial U}{\partial \theta} - U \right).$$

アーチ全体としての運動方程式は、節点変位ベクトルを Y, 強制外力ベクトルを Z とすれば、

$$M''^{(n)} + K Y^{(n)} - H^{(n)} = M Z^{(n)}$$

こゝで、M, K⁽ⁿ⁾, H⁽ⁿ⁾は、それぞれ時刻 $t = n \cdot \Delta t$ (Δt : 構造時間間隔)における質量(こゝでは Consistant Mass を用いた)、剛性およびひずみの履歴積分に関する行列およびベクトルである。

$Y^{(n)}$ の時間に因する積分は、差分法によって $Y^{(n+1)} = 2Y^{(n)} - Y^{(n-1)} + \Delta t^2 Y^{(n)}$ として行はれた。この差分スキームについて、種々の改良案、たとえば $2Y^{(n)} + 11Y^{(n-1)} + 2Y^{(n-2)} - \frac{3}{4}(Y^{(n+1)} + 16Y^{(n)} - 34Y^{(n-1)} + 16Y^{(n-2)} + Y^{(n-3)})$ といった Hermite 差分表現³⁾を考ふたが、計算時間と考慮して、最も簡単なものを用ひることとした。

計算例として、Maxwell-Voigt モデルとして、図-1 の4要素モデルを用い、アーチは半径 50m, スパンライズ比 8, アーチの断面の高さ 1.918 m について、数値計算を行なった結果の一例と、図-2 に示す。こゝで、時間積分の時間間隔は $\Delta t = 0.01$ 秒と用いた。このときの平面的なアーチの振動モードは図-3 の通りで、Walking の論文²⁾にみられるようにして逆打称のもので、最低次の自由振動形である。(加振方向は水平) また、加振と打ち切った後の自由減衰振動の際の減衰常数は 1.65% である。

この計算例では、僅か 6 分割でも、1 step 当り約 0.4 秒の計算時間と算し(FACOM 230-28 使用)、

たるが安定するまでに、固有振動数 $\omega = 2.87 \text{ rad/sec}$ の約 30 波を算し、莫大な計算時間を必要とした。この分割数については、別に行なった弾性計算で求めた自由振動についての解から、利用できる程度の精度であることを確認しているため、多少の誤差はあっても Macro のアーチの振動を把握できたものとして実行した。

非線型粘弹性の場合には、有限要素法における Stiffness Matrix を表現するには、かなり大変であるため、一つの試みとして、質量についての Lumped Mass といった考え方に対応した Lumped Spring-Dashpot という、モデルを用いて計算するもの考えられる。さらに、さきの時間積分の際の差分スキームと、この構造モデルについては、著者の隣にゆく。

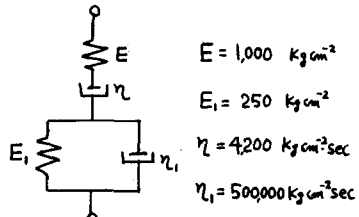


図-1 Maxwell-Voigt モデル

図-3 批量E-T U

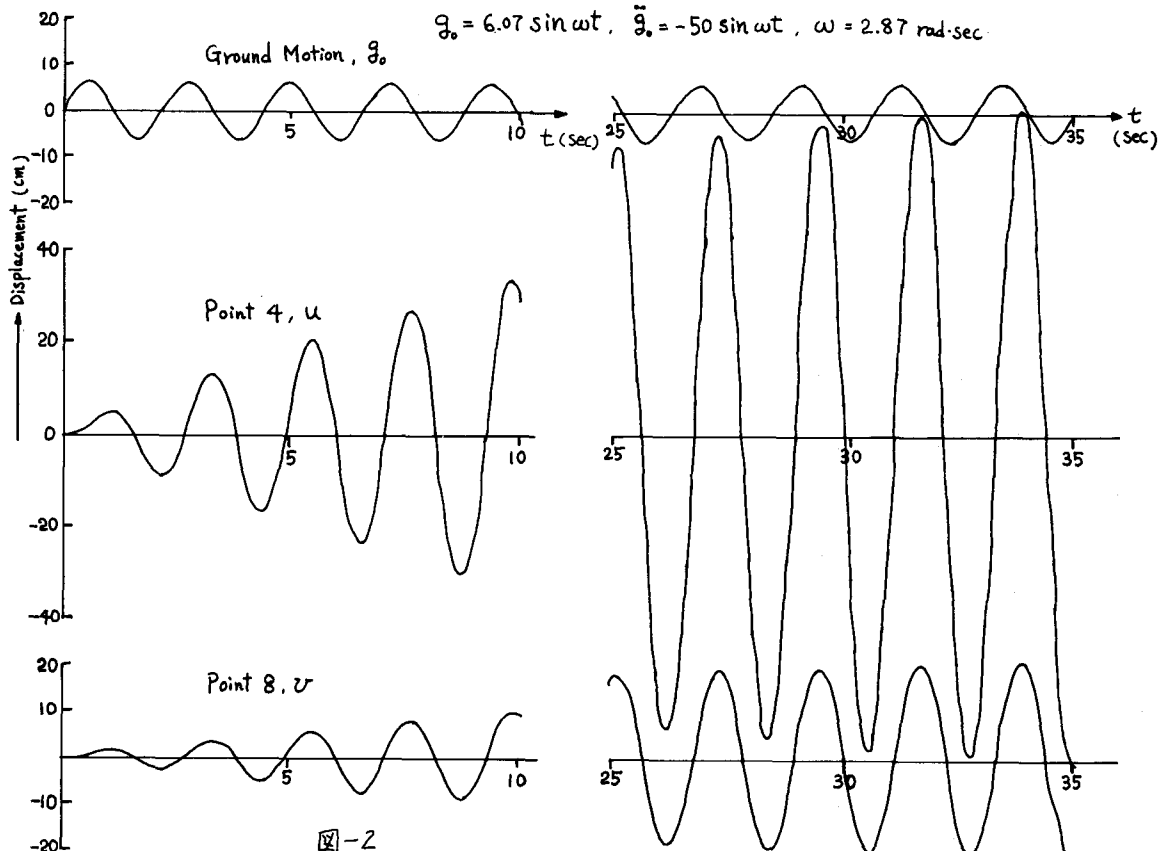
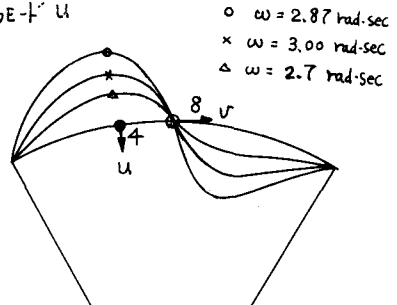


図-2

1) 渡辺; 有限要素法による粘弹性体の振動解析, 土木学会論文報告集, No.198, 1972.2

2) Waltking; Schwingungszahlen und Schwingungsformen von Kreisbogenträgern, Ing.-Archiv, V, 1934

3) Collatz; The Numerical Treatment of Differential Equations, 3rd Ed., 1966, Springer